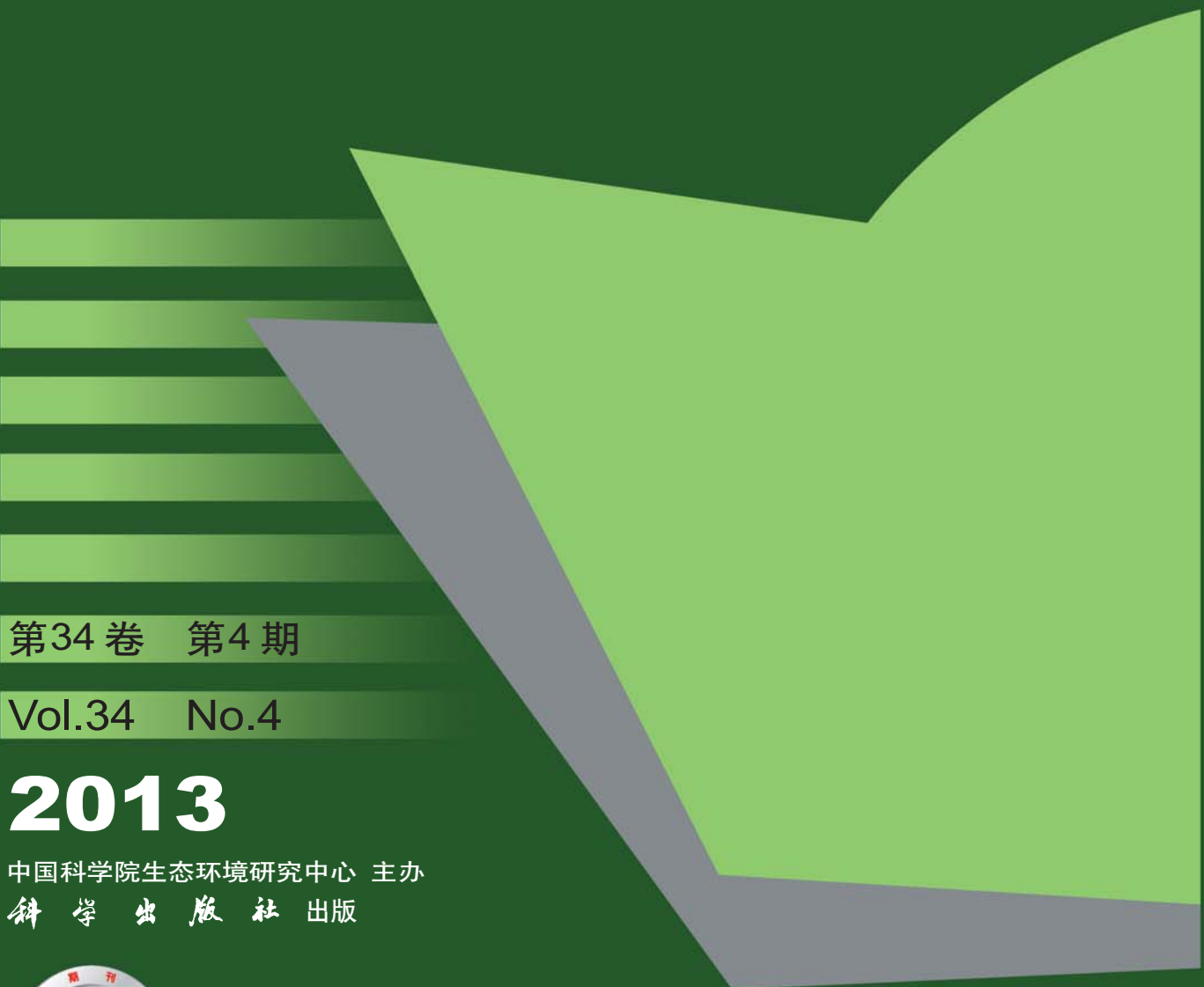


环境科学

(HUANJING KEXUE)

ENVIRONMENTAL SCIENCE



第34卷 第4期

Vol.34 No.4

2013

中国科学院生态环境研究中心 主办
科学出版社 出版



目 次

- 唐山大气颗粒物中水溶性无机盐的观测研究 苗红妍, 温天雪, 王丽, 李杏茹, 王跃思(1225)
鼎湖山 $PM_{2.5}$ 中水溶性离子浓度特征分析 赵亚南, 王跃思, 温天雪, 刘全(1232)
北京夏冬季霾天气下气溶胶水溶性离子粒径分布特征 黄怡民, 刘子锐, 陈宏, 王跃思(1236)
深圳市 $PM_{2.5}$ 化学组成与时空分布特征 云慧, 何凌燕, 黄晓锋, 兰紫娟, 李响, 曾立武(1245)
福州城市及郊区冬、夏两季大气中多环芳烃特征研究 易志刚, 黄幸然, 毕峻奇, 郭萍萍, 郑丽丽(1252)
河西走廊及兰州地区典型有机氯农药的大气残留及时空分布特征 丁中原, 毛潇萱, 马子龙, 田慧, 郭强, 黄韬, 高宏, 李军, 张干(1258)
淄博市大气污染特征模型模拟及环境容量估算 薛文博, 王金南, 杨金田, 雷宇, 燕丽, 贺晋瑜, 韩宝平(1264)
香溪河秋季水-气界面温室气体通量日变化观测及影响因素分析 黄文敏, 朱孔贤, 赵玮, 余博识, 袁希功, 冯瑞杰, 毕永红, 胡征宇(1270)
变异系数法评价人类活动对地下水环境的影响 赵微, 林健, 王树芳, 刘记来, 陈忠荣, 寇文杰(1277)
基于 ArcSWAT 模型的长乐江流域非点源氮素污染源识别和分析 邓欧平, 孙嗣旸, 吕军(1284)
西安周边河流溶解无机碳浓度及同位素组成初探 郭威, 李祥忠, 刘卫国(1291)
滇池流域宝象河暴雨径流初始冲刷效应 郭怀成, 向男, 周丰, 王永华, 李发荣, 朱翔, 毛国柱, 于书霞, 李娜, 盛虎, 杨永辉, 何成杰, 王翠榆(1298)
三峡库区沉积物秋末冬初的磷释放通量估算 牛凤霞, 肖尚斌, 王雨春, 刘德富, 黎国有, 王亮, 纪道斌, 杨正健(1308)
海南东部河流、河口及近岸水域颗粒态重金属的分布及污染状况 辛成林, 任景玲, 张桂玲, 邵亚平, 张国玲, 刘素美(1315)
黄河口表层沉积物中重金属的环境地球化学特征 吴斌, 宋金明, 李学刚(1324)
扎龙湿地沉积物重金属空间分布特征及其潜在生态风险评价 叶华香, 臧淑英, 张丽娟, 张玉红(1333)
上海市典型疏浚泥重金属生态风险评价 唐庆丽, 程金平, 高昊旻, 姚磊, 蒋真毅, 吴旸, 谢翠松, 梁海, 王鹤, 皮帅帅, 余朝毅(1340)
我国沿海地区城镇污水处理厂污泥重金属污染状况及其处置分析 张灿, 陈虹, 余忆玄, 王立军, 韩建波, 陶平(1345)
江苏某地长江、太湖水源水及出厂水中有机物雌激素活性的比较 金涛, 吕学敏, 曾一凡, 张冰冰, 马鲲鹏, 姜朴, 唐非(1351)
北京市污水处理厂中邻苯二甲酸酯污染水平及其归趋 周益奇, 刘云霞(1357)
降解 DMF 引起污泥毒性及其毒性空间分布特性研究 胡园园, 杨娜, 丁毅, 徐文璐, 陈秀荣, 艾奇峰, 陈善佳, 王利鹏, 黄华(1363)
渤海湾有机锡污染对野生脉红螺的生态风险 安立会, 张燕强, 宋双双, 刘玥, 高俊敏, 陈浩, 赵兴茹, 雷坤, 郑丙辉(1369)
巨牡蛎(*Crassostrea* sp.)对燃煤电厂脱硫海水中汞的生物累积 刘锡尧, 袁东星, 陈耀瑾(1374)
咪唑氯盐离子液体对蚯蚓急性毒性及体重影响研究 黄若男, 范军杰, 涂宏志, 谭凌燕, 刘惠君, 徐冬梅(1380)
铝盐混凝除砷影响因素及机制研究 陈桂霞, 胡承志, 朱灵峰, 童华卿(1386)
混凝和活性炭吸附去除微污染水源水中 DON 的研究 刘冰, 余国忠, 古励, 赵承美, 李清飞, 翟慧敏(1392)
活性炭催化臭氧氧化扑热息痛的机制研究 王佳裕, 戴启洲, 鱼杰, 颜亦舟, 陈建孟(1402)
氯酚溶液的 γ 辐照还原降解研究 彭云霞, 何仕均, 龚文琪, 王建龙(1411)
C/N 比对反硝化过程中亚硝酸盐积累的影响分析 袁怡, 黄勇, 邓慧萍, 盛学敏, 潘杨, 李祥(1416)
以甲醇为碳源生物反硝化过程释放一氧化二氮的试验研究 翟晓峰, 蒋成爱, 吴光学, 管运涛(1421)
固体纤维素类废物作为反硝化碳源滤料的比选 李斌, 郝瑞霞(1428)
基于能源回收的城市污水厌氧氨氧化生物脱氮新工艺 卢健聪, 高大文, 孙学影(1435)
多模式厌氧/缺氧/好氧污水处理工艺的静态与动态模拟 周振, 吴志超, 王志伟, 杜兴治, 蒋玲燕, 邢灿(1442)
高氮废水与城市生活污水短程硝化系统菌群比较 赵志瑞, 马斌, 张树军, 李滨, 白志辉, 王晓辉, 庄国强, 张洪勋(1448)
活性污泥絮体的分形结构分析 阮晓东, 刘俊新(1457)
负荷交替法快速培养好氧硝化颗粒污泥的研究 沈娜, 杨昌柱, 潘文虹, 罗应东(1464)
预加不同比例不同粒径好氧颗粒对 SBR 中好氧颗粒污泥形成的影响 熊光城, 潘文虹, 杨昌柱(1472)
同时回收氮磷提高碱性发酵污泥脱水性能的机制研究 张超, 陈银广, 顾国维(1479)
利用流式细胞仪分选技术研究湖泊真核超微藻的遗传多样性 谢薇薇, 龚伊, 王志伟, 孔繁翔, 史小丽(1485)
阿魏酸和香豆素对铜绿微囊藻的化感作用 郭亚丽, 傅海燕, 黄国和, 高攀峰, 柴天, 严滨, 廖欢(1492)
象山港国华电厂强增温海域浮游动物群落结构和多样性的时空特征 朱艺峰, 黄简易, 林霞, 杨莹, 邢超, 严小军(1498)
环氧化合物降解嗜盐菌的筛选及其处理高盐环氧化合物的特性研究 王进, 徐真, 彭书传, 夏明山, 岳正波, 陈天虎(1510)
铜绿假单胞菌胞内酶粗提液对十溴联苯醚的降解 史广宇, 尹华, 叶锦韶, 彭辉, 张娜, 何宝燕(1517)
酵母提取物对葡萄糖发酵生产生物破乳菌 *Alcaligenes* sp. S-XJ-1 的影响 黄翔峰, 王凯, 黎明霞, 王彩林, 陆丽君, 刘佳(1524)
玉米秸秆厌氧降解复合菌系的微生物群落结构 乔江涛, 郭荣波, 袁宪正, 师晓爽, 许晓晖, 范晓蕾, 邱艳玲(1531)
红霉素对产甲烷菌的抑制及其驯化 刘子旭, 孙力平, 李玉友, 邱春生(1540)
4 种 NAPLs 污染物在二维砂箱中的指进锋面形态特征研究 杨宾, 李慧颖, 伍斌, 杜晓明, 李发生(1545)
汚灌区土壤中多环芳烃的垂直分布及可能来源 姚林林, 张彩香, 李佳乐, 廖小平, 王焰新(1553)
呼和浩特市不同功能区土壤重金属污染特征及评价 郭伟, 孙文惠, 赵仁鑫, 赵文静, 付瑞英, 张君(1561)
水稻光合同化碳在土壤不同粒径、密度分组中的分配特征 李苗苗, 聂三安, 陈晓娟, 罗璐, 朱捍华, 石辉, 葛体达, 童成立, 吴金水(1568)
亚热带不同稻田土壤微生物生物量碳的剖面分布特征 盛浩, 周萍, 袁红, 廖超林, 黄运湘, 周清, 张杨珠(1576)
施用堆肥对水稻土中六氯苯脱氯降解影响 刘翠英, 蒋新(1583)
螯合剂和生物表面活性剂对 Cu、Pb 污染土壤的淋洗修复 刘霞, 王建涛, 张萌, 王力, 杨亚提(1590)
不同温度下烧制的秸秆炭对可变电荷土壤吸附 Pb(II) 的影响 蒋田雨, 姜军, 徐仁扣, 周立祥, 王世梅(1598)
绿色木霉改性玉米秸秆溢油吸附剂的制备及其性能研究 蓝舟琳, 彭丹, 郭楚玲, 朱超飞, 薛秀玲, 党志(1605)
改性与成型层状氢氧化镁铝对不同水体中 PO_4^{3-} 的脱除性能 邢坤, 王海增(1611)
羧基碳纳米管载铂催化剂对微生物燃料电池阴极氧还原性能的影响 涂丽杏, 朱能武, 吴平霄, 李平, 吴锦华(1617)
新型微生物活性炭烟气脱硫研究 刘洁岭, 汤争光, 陈杰, 蒋文举, 江霞(1623)
城市工业行业能源消费强势等级划分方法及应用 毛建素, 马兰(1628)
厦门城市化进程中的居民食物碳消费及其环境负荷 闫祯, 崔胜辉, 李桂林, 任引, 徐礼来(1636)
《环境科学》征订启事(1283) 《环境科学》征稿简则(1332) 信息(1350, 1509, 1582, 1644) 专辑征稿通知(1523)

香溪河秋季水-气界面温室气体通量日变化观测及影响因素分析

黄文敏¹, 朱孔贤^{1,2}, 赵玮^{1,2}, 余博识¹, 袁希功^{1,2}, 冯瑞杰¹, 毕永红^{1*}, 胡征宇¹

(1. 中国科学院水生生物研究所, 武汉 430072; 2. 中国科学院大学, 北京 100049)

摘要: 采用通量箱-气相色谱法对三峡水库香溪河库湾秋季水-气界面温室气体(CO_2 、 CH_4 、 N_2O)交换通量进行了连续24 h昼夜观测。结果表明, 水-气界面 CO_2 、 CH_4 、 N_2O 的释放通量具有明显的日变化特征: 水体除去下午17:00及凌晨05:00吸收 CH_4 外, 其余时刻均向外界大气排放 CH_4 , 且在凌晨01:00达到排放高峰。 CO_2 和 N_2O 通量的变化规律一致, 两者全天均表现为向大气释放; 且 CO_2 和 N_2O 通量的昼夜差异较大。 CO_2 白天释放通量范围在 $20.1 \sim 97.5 \text{ mg} \cdot (\text{m}^2 \cdot \text{h})^{-1}$ 之间, 夜间释放通量范围在 $32.7 \sim 42.5 \text{ mg} \cdot (\text{m}^2 \cdot \text{h})^{-1}$ 之间。 N_2O 白天释放通量范围在 $18.4 \sim 133.7 \text{ } \mu\text{g} \cdot (\text{m}^2 \cdot \text{h})^{-1}$ 之间, 夜间释放通量范围在 $42.1 \sim 102.6 \text{ } \mu\text{g} \cdot (\text{m}^2 \cdot \text{h})^{-1}$ 之间。通过相关性分析, 秋季香溪河水-气界面 CO_2 交换通量与风速呈显著正相关, 与pH值显著负相关, 与Chl-a有一定相关性; CH_4 交换通量与气压有一定的相关性; N_2O 交换通量与pH值显著正相关。

关键词: 香溪河; 水-气界面; 温室气体交换通量; 三峡大坝; 日变化

中图分类号: X14 文献标识码: A 文章编号: 0250-3301(2013)04-1270-07

Diurnal Changes in Greenhouse Gases at Water-Air Interface of Xiangxi River in Autumn and Their Influencing Factors

HUANG Wen-min¹, ZHU Kong-xian^{1,2}, ZHAO Wei^{1,2}, YU Bo-shi¹, YUAN Xi-gong^{1,2}, FENG Rui-jie¹, BI Yong-hong¹, HU Zheng-yu¹

(1. Institute of Hydrobiology, Chinese Academy of Sciences, Wuhan 430072, China; 2. University of Chinese Academy of Sciences, Beijing 100049, China)

Abstract: With the closed chamber and gas chromatography method, a 24-hour continuous monitoring was carried out to understand the greenhouse gases fluxes across the water-air interface of the Xiangxi River Bay, the Three-Gorges Reservoir in Autumn. Results indicated that the fluxes of CO_2 , CH_4 and N_2O across the water-air interface showed an obvious diurnal variation. The absorption and emission process of CH_4 showed strong diurnal variation during the experimental period, reaching the highest emission at 1 am, whereas CO_2 and N_2O were emitted all day. The fluxes of CO_2 ranged from $20.1 \sim 97.5 \text{ mg} \cdot (\text{m}^2 \cdot \text{h})^{-1}$ at day and $32.7 \sim 42.5 \text{ mg} \cdot (\text{m}^2 \cdot \text{h})^{-1}$ at night, the fluxes of N_2O ranged from $18.4 \sim 133.7 \text{ } \mu\text{g} \cdot (\text{m}^2 \cdot \text{h})^{-1}$ at day and $42.1 \sim 102.6 \text{ } \mu\text{g} \cdot (\text{m}^2 \cdot \text{h})^{-1}$ at night. The fluxes of CO_2 had positive correlation with wind speed and negative correlation with pH. The fluxes of N_2O had positive correlation with pH.

Key words: Xiangxi River; water-air interface; greenhouse gases flux; Three-Gorges Reservoir; daily variation

大气中温室气体浓度不断增加以及由此引发的全球变暖等一系列问题引起人们对水电“源-汇”效应的广泛关注。长期以来, 水电一直被认为是清洁、无碳排放能源的典范而得到大规模推广^[1]。自有报道称水库是温室气体可能的净排放源之后^[2~4], 水库温室气体排放受到越来越多的关注, 水库温室气体排放的全球影响成为了一个不可回避的科学问题。对水库温室气体的研究始于1993年^[5], Duchemin等^[4]首次对水库水气界面上的温室气体通量进行了测定和计算。水库排放的温室气体主要是由周围生态系统淹没后在水库中形成的有机碳所引起; 通过各种途径进入到水库中的有机物, 在厌氧、好氧条件下腐烂分解, 生成大量的二氧化碳、甲烷和氧化亚氮, 成为温室气体重要的排放源^[6]。

世界范围内水库在库龄、水深、淹没面积、平均水温、补给系数等方面存在很大的差别, 因此不同水库表面 CO_2 和 CH_4 扩散通量变化较大, CO_2 变化范围在 $220 \sim 4460 \text{ mg} \cdot (\text{m}^2 \cdot \text{d})^{-1}$ 之间, CH_4 变化范围在 $3 \sim 1140 \text{ mg} \cdot (\text{m}^2 \cdot \text{d})^{-1}$ 之间^[7]。并且寒带及温带地区水库主要以 CO_2 为主, 热带地区水库 CH_4 的释放更为重要^[8]。

我国相比国外, 对温室气体监测方法及碳通

收稿日期: 2012-07-12; 修订日期: 2012-08-31

基金项目: 国家自然科学基金项目(31100340); 国家重点基础研究发展计划(973)项目(2010CB955904-06); 淡水生态与生物技术国家重点实验室开放课题项目(2011FB11)

作者简介: 黄文敏(1982~), 女, 博士, 工程师, 主要研究方向为水环境科学, E-mail: huangwm@ihb.ac.cn

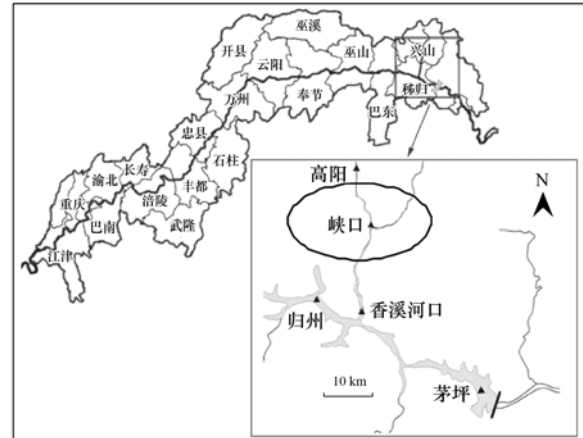
* 通讯联系人, E-mail: biyh@ihb.ac.cn

量的研究开展的相对较晚及滞后,尤其是针对水库温室气体产生与释放的研究较少。三峡工程作为世界上最大的水利枢纽工程,其温室气体排放问题更是引起了国际广泛的关注。目前国内关于水库温室气体的研究主要集中在:洪家渡水库CO₂排放通量研究^[9],三峡水库及三峡水库新生湿地CO₂及CH₄排放通量研究^[10],典型支流澎溪河、香溪河等区域CH₄及CO₂排放通量观测及影响因素分析等^[11,12]。N₂O作为重要的温室气体之一^[14],其全球增温潜势约是CO₂的300倍^[14],但是对于N₂O的排放并未给予更多的关注,目前十分缺乏水库N₂O排放通量的数据。因此,在本研究中作者也尤其关注了三峡水库水气界面N₂O排放通量的变化趋势和规律。

由于水库水面与大气之间的水热交换有一定的传导平衡时间,小时、昼夜和季节尺度上温湿度等环境因子与水-气界面温室气体交换通量之间的关系可能就会有不同的表现形式,因此有必要在不同时间尺度上对水-气界面温室气体浓度及其排放通量与各种环境因素的关系展开研究,以探明水库水-气界面温室气体与气候环境因素之间的关系细节。而且,三峡水库在每年6~9月低水位运行期间接近于天然河道,而在10月~次年2月的高水位运行期间又具有深水湖泊的湖沼学特征。如此反季节性的水位涨落过程应该会很大程度上影响水库水-气界面温室气体交换通量的强度。综合以上考虑,本研究开展了对三峡水库香溪河支流水-气界面温室气体交换通量的昼夜24 h连续监测,并结合同期现场气候条件及水体主要理化参数的观测结果,探讨水-气界面温室气体(CO₂、CH₄、N₂O)交换通量的日变化规律及与各环境因子之间的潜在联系,以期进一步丰富认识三峡水库水-气界面温室气体排放通量的变化规律,并为进一步的研究提供参考。

1 研究区概况

香溪河是三峡水库湖北库区的最大支流,也是三峡坝首的第一大支流,流域面积为3 099 km²^[15]。三峡水库蓄水后,香溪河河口至上游白沙河之间的河段被回水淹没,形成典型的峡谷型水库水域。考虑到香溪河流域的自然地理特征及水环境特征,本研究中观测位点选择在兴山县峡口镇(图1),处于香溪河中游。香溪河中游水体受上游来水和长江干流倒灌水体的影响较小,能够较好地代表香溪河库湾滞留水体的特征。



图中椭圆标识位置为采样点

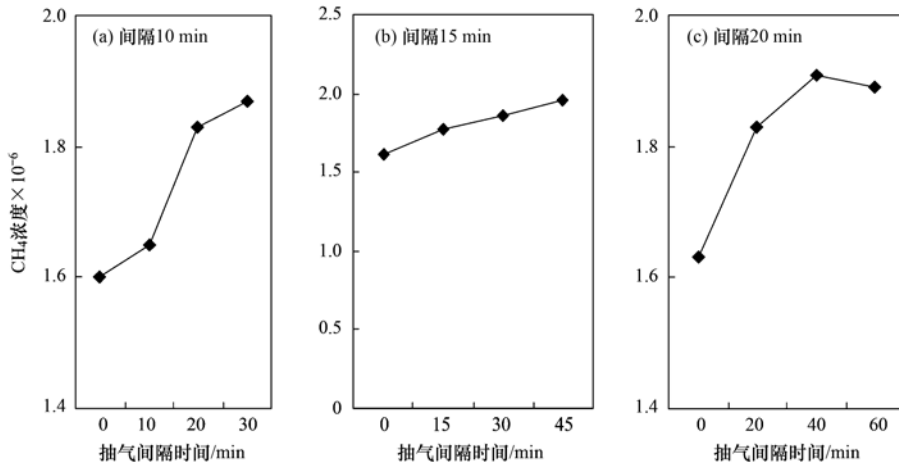
图1 采样点设置

Fig. 1 Location of the sampling site

2 材料与方法

2.1 CO₂、CH₄、N₂O 交换通量监测

为了避免降雨造成水面波动的影响,选择天气晴好之日采样。2010年10月对研究位点进行水-气界面温室气体交换通量(CO₂、CH₄、N₂O)的日变化采样及监测。早上09:00开始采样,每间隔4 h采样一次。水-气界面CO₂、CH₄、N₂O的扩散通量采用静态箱法测量^[16]。静态箱法能同时分析气体样本中的多种成分,精度高,是开展水库水气界面温室气体通量观测最常用的一种方法。Duchemin等^[4]利用静态箱对魁北克北部新旧两个水库的水气界面温室气体扩散通量进行了观测。陈永根等^[17]、蒋滔等^[11]利用静态观测箱技术观测了滇池、太湖、三峡水库等水气界面的通量变化规律。本实验中具体采样设备及采样过程如下:气样采集设备为通量箱,箱体(直径30 cm,高45 cm)采用不锈钢材质,箱顶设有微型风扇以便于使箱内的空气混合均匀;采用不透光不散热的硒膜将箱体覆盖,减少光线对箱内温度的影响。采样前,将箱口朝上大约5 min,以便箱内充满空气,采样时将采样箱置于水面,使箱口浸入水中,保证箱内空气与外界隔绝。每隔15 min用针筒抽取采样箱内气体200 mL,注入铝箔采气袋保存,每个采样点共取4次。考虑到抽气间隔时间将影响到气体浓度及气体交换通量的结果分析,作者特进行了预实验,分别间隔10、15及20 min抽气采样,气体浓度(以CH₄结果为例)随抽气时间的变化图见图2。15 min采样间隔[图2(b)]能实现气体释放达到线性平衡,笔者确定为抽气间隔时间。全部样品采集完送回实验室48 h内完成CO₂、CH₄、

图 2 CH₄ 浓度随时间变化的关系Fig. 2 Changes of CH₄ over time

N₂O 浓度的分析。CO₂、CH₄、N₂O 浓度的测定采用气相色谱法。气体采用六通阀进样,CH₄ 经 TDX-01 色谱柱分离后直接用 FID 检测器检测,CO₂ 先经 TDX-01 柱分离后再通过甲烷转化器转化,然后用 FID 检测器检测; N₂O 用 ECD 检测器检测。

2.2 CO₂、CH₄、N₂O 交换通量计算

通过测定气样浓度变化率计算水-气界面的 CO₂、CH₄、N₂O 交换通量,计算公式如下^[16]:

$$F = \frac{F_1 \times F_2 \times V \times \Delta c}{F_3 \times A \times \Delta t}$$

式中, F 为气体交换通量 [$\text{mg} \cdot (\text{m}^2 \cdot \text{h})^{-1}$]; F_1 为 ppm 与 $\mu\text{g} \cdot \text{m}^{-3}$ 的单位转换系数; F_2 为 min 与 d 的转换系数; V 为浮箱内的空气量体积 (m^3); A 为水上部分浮箱的表面积 (m^2); F_3 为 μg 与 mg 的单位转换系数; $\Delta c / \Delta t$ 是温室气体在观测时间内浓度随时间变化的直线斜率 ($10^6 \cdot \text{min}^{-1}$)。交换通量为正值时表示水体向大气排放 CO₂ 等温室气体,为负值时表示吸收。

2.3 环境参数指标测定

气体采样同时进行环境参数的测量。利用温度传感器测量静态箱内温度,利用 Kestrel 4000 风速气象仪(NK 公司,美国)记录水面气温(AT)、气压(AP)、风速(WS),使用 YSI ProPlus 多参分析仪(YSI 公司,美国)现场测量透明度(SD)、水温(WT)、pH、溶解氧(DO)等水体理化参数。另外,同位点处采集表层水样(0.5 m 水深),分析 Chl-a、溶解性有机碳(DOC)、总磷(TP)、总氮(TN)等水质指标。

2.4 统计分析方法

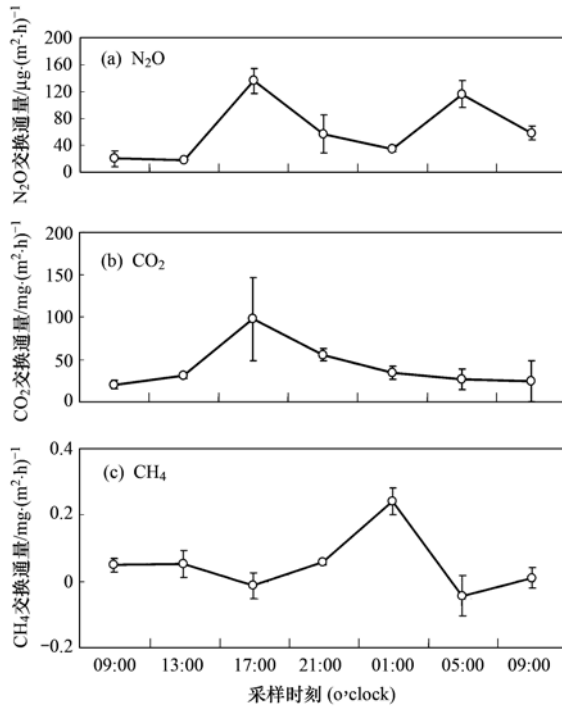
采用 SPSS 13.0 软件的单因素方差分析(One-Way ANOVA)、相关分析(Bivariate Correlations)和逐步回归分析方法(Stepwise Regression Analysis)分析数据之间的差异性和相关性。

3 结果与分析

3.1 香溪河水-气界面 CO₂、CH₄、N₂O 气体交换通量

在所监测的全部时间点内,大部分时刻 CH₄、CO₂、N₂O 等 3 种温室气体的交换通量均为正值,表示温室气体从水体进入大气。3 种温室气体表现出不一样的昼夜变化规律,且昼夜变化范围较大(见图 3)。对 CH₄ 而言,24 h 内 CH₄ 的吸收和释放过程明显,昼间 CH₄ 排放通量的范围在 $-0.014 \sim 0.052 \text{ mg} \cdot (\text{m}^2 \cdot \text{h})^{-1}$ 之间,夜间 CH₄ 排放通量的范围在 $-0.044 \sim 0.198 \text{ mg} \cdot (\text{m}^2 \cdot \text{h})^{-1}$ 之间。上午 09:00~下午 17:00,晚上 21:00~凌晨 01:00,凌晨 05:00~上午 09:00 其通量值为正值,表明水体向大气中释放 CH₄,而且在凌晨 01:00 达到高峰,此时 CH₄ 排放通量绝对值最大。下午 17:00 及凌晨 05:00 CH₄ 交换通量为负值,表明水体吸收 CH₄,且凌晨 05:00 的交换通量绝对值要高于下午 17:00。

在持续 24 h 的昼夜日变化监测中,CO₂ 及 N₂O 交换通量变化规律很一致:交换通量值均为正值,表现为水体向大气释放 CO₂ 和 N₂O。CO₂ 及 N₂O 均在下午 17:00 达到最大释放量,随后下降。CO₂ 白天释放通量范围在 $20.1 \sim 97.5 \text{ mg} \cdot (\text{m}^2 \cdot \text{h})^{-1}$ 之间,夜间的释放通量范围在 $32.7 \sim 42.5 \text{ mg} \cdot (\text{m}^2 \cdot \text{h})^{-1}$ 之间。N₂O 白天释放通量范围在 $18.4 \sim 133.7 \mu\text{g} \cdot (\text{m}^2 \cdot \text{h})^{-1}$ 之间,夜间的释放通量范围在 $42.1 \sim$

图3 CO_2 、 CH_4 、 N_2O 交换通量的昼夜变化Fig. 3 Diurnal variations of CH_4 , CO_2 and N_2O flux

$102.6 \mu\text{g} \cdot (\text{m}^2 \cdot \text{h})^{-1}$ 之间。整体而言,两者通量昼、夜差异较大。

3.2 水体理化参数变化

水体各理化参数结果见图4。水温24 h内波动不大,变化范围在 $19.0 \sim 21.2^\circ\text{C}$ 之间。气温24 h波动较大,受太阳辐射的影响,白天气温较高,在 $22.6 \sim 26.4^\circ\text{C}$ 范围内波动,日间平均气温为 23.9°C ;夜间气温在 $17.2 \sim 19.2^\circ\text{C}$ 范围内波动,夜间平均气温为 18.1°C 。昼夜气温差可达到 5.8°C 。 pH 值的日变化波动范围为 $8.14 \sim 8.52$, pH 值从凌晨09:00开始缓慢升高,至下午17:00达最大值 8.52 ,然后下降,凌晨05:00达到最小值 8.14 。水中溶解氧昼夜变化范围在 $6.54 \sim 7.99 \text{ mg} \cdot \text{L}^{-1}$ 之间。其中最大值出现在下午13:00。日间溶解氧的平均值为 $7.75 \text{ mg} \cdot \text{L}^{-1}$,夜间溶解氧平均值为 $6.87 \text{ mg} \cdot \text{L}^{-1}$ 。风速波动较明显,在 $0.75 \sim 2.95 \text{ m} \cdot \text{s}^{-1}$ 范围内变化。下午17:00风速在所有监测时刻内最大,为 $2.95 \text{ m} \cdot \text{s}^{-1}$ 。气压值在 $101.1 \sim 102.8 \text{ kPa}$ 范围内波动。上午09:00气压值最大,为 102.8 kPa ,次高值出现在晚上21:00;下午17:00气压值最低,为 101.1 kPa ,次低值出现在凌晨05:00。 Chl-a 浓度昼夜变化较大,在 $0.72 \sim 1.37 \mu\text{g} \cdot \text{L}^{-1}$ 范围内波动,下午13:00 Chl-a 浓度最大,为 $1.37 \mu\text{g} \cdot \text{L}^{-1}$ 。日间叶绿素平均值为 $1.11 \mu\text{g} \cdot \text{L}^{-1}$,夜间叶绿素平均值为 0.84

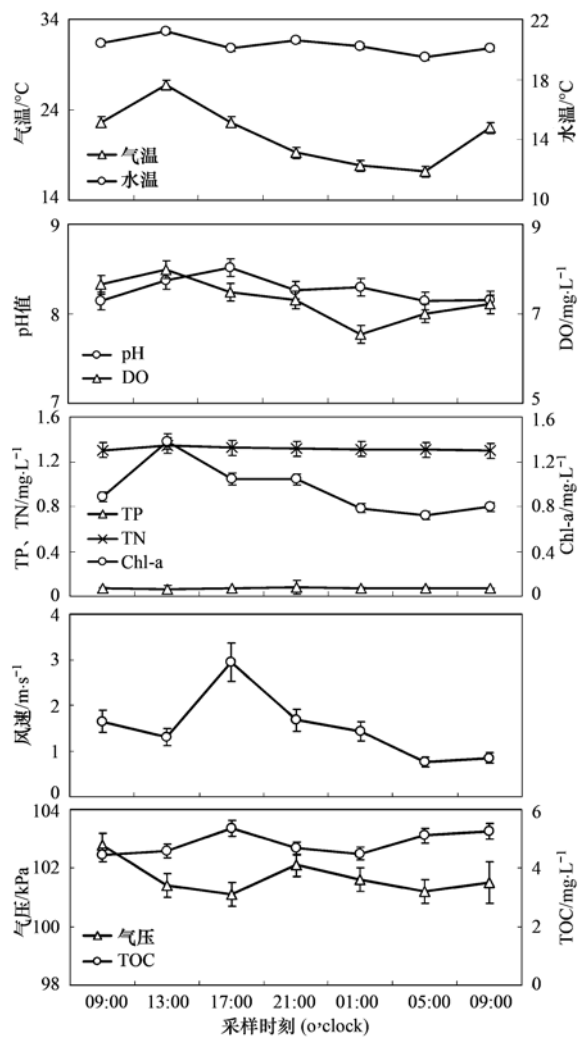


图4 各环境理化因子的昼夜变化

Fig. 4 Diurnal variation of influencing factors

$\mu\text{g} \cdot \text{L}^{-1}$ 。水体中有机碳、总氮、总磷昼夜变化不大,水体全天有机碳、总氮和总磷平均值分别为 4.54 、 1.25 和 $0.0729 \text{ mg} \cdot \text{L}^{-1}$ 。

4 讨论

4.1 水温、气温与水气界面 CO_2 、 CH_4 、 N_2O 交换通量的关系

水温是水体重要的理化参数之一。水温不仅可以影响气体分子的扩散速度及其在水体中的溶解度来直接影响气体交换通量^[18],还可以通过影响微生物的活性来间接影响温室气体产生的地球化学过程^[19]。此外,水温还可通过影响水生植物的光合作用及呼吸作用而影响 CO_2 在水-气界面间的扩散^[20]。本研究结果显示,水温与 CO_2 交换通量的相关系数为 0.339 ($P > 0.05$),它表明水温与 CO_2 通量之间没有明显的相关关系。分析原因如下:由于

CO_2 通量主要由水气间 CO_2 的分压差决定,且通量的方向主要由水中 CO_2 分压决定。而水中 CO_2 分压主要由水中碳酸盐浓度与水生植物光合作用的强弱决定。由于水体比热较大,水温 24 h 内的变化波动较小;此外,水体中进行光合作用的生物-水生植物(调查中未发现水生植物)及浮游植物生物量(见 Chl-a 数据)都很小,故水气间 CO_2 的分压差不会受到影晌。因此,水温与水-气界面 CO_2 通量之间没有显著相关性。

CH_4 主要是底部产 CH_4 菌分解有机物产生,该代谢产生 CH_4 的过程与水温关系密切。Louis 等^[7]认为,水温较高的沉积物中积累的甲烷量大于扩散到水中的量,导致甲烷过饱和而形成气泡。Friedl 等^[21]研究结果显示温和的水体会更进一步促进温室气体的产生,增加排放到大气中的绝对量。鉴于本研究调查期间水温 24 h 内波动不大,变化范围在 19.0~21.2°C 之间。故相关性分析才得出了水温与 CH_4 通量无明显相关的结果,相关系数为 0.402 ($P > 0.05$)。

受太阳辐射等因素的影响,气温 24 h 内变化较大,昼夜气温温差达到 5.8°C。通过相关性分析,气温与 CO_2 、 CH_4 、 N_2O 通量的相关系数分别为 0.321 ($P > 0.05$)、0.118 ($P > 0.05$) 和 0.221 ($P > 0.05$),没有明显相关性。考虑到风速对气体交换的影响(下午 17:00 监测位点风速高达 $3 \text{ m} \cdot \text{s}^{-1}$),笔者将该时刻去掉后对气温与气体通量间进行相关性分析,所得气温与 CO_2 、 N_2O 、 CH_4 三者的相关系数分别为 0.662 ($P < 0.05$)、0.701 ($P < 0.05$) 和 0.442 ($P > 0.05$)。由此可见,在风速较低情况下, CO_2 、 N_2O 扩散通量与气温呈现强的相关性。但在风速较高时, CO_2 、 N_2O 通量与气温的相关性降低,风速成为影响气体扩散通量的主导因子。

4.2 pH 值与水气界面 CO_2 、 CH_4 、 N_2O 交换通量的关系

pH 值可通过改变水体中碳酸盐平衡影响水库 CO_2 的排放。当 $\text{pH} > 7$ 时,碳在水体中容易形成重碳酸盐,使水体 CO_2 处于不饱和状态。Tremblay 等^[22]通过对水库的观察发现,在水体 $\text{pH} > 8$ 时,水库呈二氧化碳的吸收状态。此外,pH 值与水体有机质的分解、微生物的活动和水生生物的代谢等密切相关,是影响 CO_2 和 CH_4 产生和排放过程的重要因素之一^[23,24]。pH 对水-气界面 CO_2 通量的影响主要表现为调节 3 种不同形态无机碳之间的动态平衡,当 pH 值大于 6.4 时,平衡逐渐向 HCO_3^- 、 CO_3^{2-} 一

端移动。本研究观测时间段内,pH 值的日变化波动范围为 8.14~8.52,水体呈弱碱性,因此水体中无机碳主要以 HCO_3^- 、 CO_3^{2-} 形式存在,水中游离的 CO_2 较少。pH 值从凌晨 09:00 开始缓慢升高,至下午 17:00 达最大值 8.52。随着 pH 增高水体中 CO_2 分压会逐渐减小,会进一步促进大气中 CO_2 进入水体。相关分析结果显示水-气界面 CO_2 交换通量与 pH 值相关系数为 -0.775 ($P < 0.05$),表明 CO_2 交换通量与 pH 值之间存在显著的负相关关系。这一结果与王亮等^[12]关于夏季香溪河 CO_2 交换通量的研究结果一致。

pH 值也是影响反硝化速率的重要因子。有研究发现,当 pH 值为 7.0~8.0 时,反硝化作用最佳;pH > 9.5 时,硝化菌受到抑制;pH < 6.0 时,亚硝化菌受到抑制^[25]。本研究中,水体 pH 值的昼夜波动范围为 8.14~8.52,尽管此 pH 范围不是反硝化作用发生的最佳条件,但通过相关性分析发现,pH 对 N_2O 交换通量的影响明显,相关系数达到 0.531 ($P < 0.05$)。 CH_4 释放通量与 pH 值的相关性相对较弱,相关系数为 0.405 ($P > 0.05$)。

4.3 Chl-a 与水气界面 CO_2 、 CH_4 、 N_2O 交换通量的关系

浮游植物在光照条件下可通过光合作用吸收水中 CO_2 。Chl-a 含量是浮游植物数量的重要指标,它直接反映水体的初级生产能力^[26]。因此水体中 Chl-a 含量是决定水体吸收或排放 CO_2 量的重要因素之一。此外,有研究证明,藻类的光合作用可以抑制 N_2O 的产生^[27]。本研究中,Chl-a 含量昼夜变化范围为 0.72~1.37 $\mu\text{g} \cdot \text{L}^{-1}$ 。通过镜检观察发现,浮游植物主要为小环藻。相关分析表明,Chl-a 含量与 CO_2 、 CH_4 、 N_2O 交换通量的相关系数分别为 0.543 ($P > 0.05$),0.339 ($P > 0.05$) 和 0.131 ($P > 0.05$)。王亮等^[12]研究表明,夏季香溪河水-气界面 CO_2 通量与 Chl-a 呈正相关关系。理论上分析,日间太阳辐射较强,水体中浮游植物光合作用会增强,利于 CO_2 进入水体;到了夜间,太阳辐射大大减弱,浮游植物光合作用减弱,呼吸作用相对增强,利于水体中 CO_2 进入大气。然而由于该季节水体中浮游植物生物量较少,与文献[12]相比,叶绿素含量不及其 1/10,因此浮游植物光合作用对碳通量及 N_2O 通量的影响较微弱,相关性分析中没有发现显著的相关性。另外,将本文碳通量数据与香溪河夏季碳通量数据进行比较,夏季 CO_2 和 CH_4 的全天平均通量分别为 $0.336 \text{ mg} \cdot (\text{m}^2 \cdot \text{h})^{-1}$ 和 $0.088 \text{ mg} \cdot (\text{m}^2 \cdot \text{h})^{-1}$ ^[12],秋季分别为 $42.13 \text{ mg} \cdot (\text{m}^2 \cdot \text{h})^{-1}$ 和

0.14 mg·(m²·h)⁻¹(本研究数据),两季节间尤其以CO₂排放通量差距明显。分析可能原因在于香溪河流域浮游植物于春、夏季大量生长,其光合作用过程有效地降低了水库水面向大气碳的排放;而到秋、冬季节时,反而是这些浮游植物等生物死亡后堆积在库底形成了产生CO₂及CH₄的“源”,故此时期CO₂和CH₄排放量显著高于夏季。

4.4 溶解氧、气压与水气界面CO₂、CH₄、N₂O交换通量的关系

水体溶解氧含量决定了水体中有机物降解的途径和产物,并对水体元素循环有重要影响。对于碳循环而言,有机物在有氧情况下主要产生CO₂,而在缺氧状态下主要生成CH₄。对于氮循环而言,在有氧环境中主要发生硝化反应,厌氧环境中主要为反硝化作用。Tremblay等^[28]的研究表明水体含氧量影响水库CH₄的排放。Huttunen等^[29]研究表明,沉积物中CH₄浓度以及CH₄扩散浓度与水体含氧量密切相关。沉积物中产生的CH₄不全进入到气泡中,其中一部分通过扩散上升到水面;上升过程中,由于水中氧浓度的逐渐上升,产生的大部分CH₄被生活在有氧-缺氧临界面的甲烷氧化菌消耗掉^[30]。本研究中溶解氧最大值出现在下午13:00,日间溶解氧浓度比夜间高出约1 mg·L⁻¹。相关分析结果显示,溶解氧与CO₂、CH₄、N₂O交换通量的相关系数分别为0.225(P>0.05)、0.332(P>0.05)和0.239(P>0.05),溶解氧与3种气体间没有明显相关性。

表1 香溪河秋季水-气界面CO₂、CH₄、N₂O交换通量与环境因子的相关关系¹⁾

项目	气温	水温	pH	Chl-a	DO	风速	气压
CH ₄	0.118	0.402	0.405	0.339	0.332	-0.347	0.531
N ₂ O	0.221	-0.403	0.531*	0.131	0.239	0.429	-0.539
CO ₂	0.321	0.339	-0.775*	0.543	0.225	0.812*	0.447

1) * 表示P<0.05

5 结论

本研究对香溪河库湾秋季水-气界面CO₂、CH₄、N₂O的昼夜连续监测表明,香溪河水-气界面CO₂、CH₄、N₂O的释放通量具有明显的日变化特征。上午09:00~下午17:00,晚上21:00~凌晨01:00,凌晨05:00~上午09:00水体向大气释放CH₄,全天均向大气排放CO₂及N₂O。通过相关性分析,CO₂交换通量与风速显著正相关,与pH显著负相关,与Chl-a有一定相关性;CH₄交换通量与气

压是影响气体在水体中溶解度的重要参数^[31]。相关性分析结果显示,气压对CO₂、CH₄、N₂O交换通量的影响较明显,相关系数分别为0.447(P>0.05)、0.531(P>0.05)和-0.539(P>0.05)。

4.5 风速与水气界面CO₂、CH₄、N₂O交换通量的关系

水-气界面气体交换通量受水体中与大气中气体的分压差以及气体交换系数的影响,而气体交换系数又受到风速的影响。风速是影响水-气界面气体交换通量的重要因素之一^[22]。风对水体的扰动作用可促进水库的气体排放,同时,扰动作用也会促进气泡的形成,从而影响气体的排放^[30]。风速对水-气界面气体交换的影响表现为风速增加,高速的风剪切水面波浪产生气泡使气体交换速率增大。有研究表明,当风速大于3 m·s⁻¹时,CO₂平均通量会有明显提高^[4]。本研究中,风速变化较大,在0.75~2.95 m·s⁻¹范围内波动,下午17:00风速是所有采样时刻最大,为2.95 m·s⁻¹,此时刻与CO₂、N₂O出现最大释放通量的时刻一致。相关分析结果显示,风速与CO₂的相关系数达到0.812(P<0.05),表明风速与CO₂通量正相关。进一步将各环境参数与CO₂交换通量采用逐步回归分析发现,风速是影响CO₂交换通量的主要因子(F=18.191,P<0.01)。风速与N₂O、CH₄通量的相关系数分别为0.429(P>0.05)和-0.347(P>0.05),相关性不是十分明显。

压有一定的相关性;N₂O交换通量与pH值显著正相关,与气压有一定相关性。

参考文献:

- [1] Victor D G. Strategies for cutting carbon[J]. Nature, 1998, 395(6705): 837-838.
- [2] Kelly C A, Rudd J W M, Louis V L S, et al. Turning attention to reservoir surfaces, a neglected area in greenhouse studies[J]. EOS, Transactions American Geophysical Union, 1994, 75(29): 332-332.
- [3] MacIntyre S, Wanninkhof R, Chanton J. Trace gas exchange across the air-water interface in freshwater and coastal marine

- environments [A]. In: Matson P A, HArriss P C, (Eds). Biogenic trace gases: Measuring emissions from soil and water [M]. New York: John Wiley & Sons, Inc, 1995. 52-97.
- [4] Duchemin E, Lucotte M, Canuel R, et al. Production of the greenhouse gases CH₄ and CO₂ by hydroelectric reservoirs of the boreal region [J]. Global Biogeochemical Cycles, 1995, **9**(4): 529-540.
- [5] Rudd J W M, Harris R, Kelly C A, et al. Are hydroelectric reservoirs significant sources of greenhouse gases? [J]. Ambiology, 1993, **22**(4): 246-248.
- [6] Mäkine K, Khan S. Policy considerations for greenhouse gas emissions from freshwater reservoirs [J]. Water Alternatives, 2010, **3**(2): 91-105.
- [7] Louis V L S T, Kwilly C A, Duchemin É, et al. Reservoir surfaces as sources of greenhouse gases to the atmosphere: A global estimate [J]. Bioscience, 2000, **50**(9): 766-775.
- [8] 刘丛强, 汪福顺, 王雨春, 等. 河流筑坝拦截的水环境响应——来自地球化学的视角 [J]. 长江流域资源与环境, 2009, **18**(4): 384-396.
- [9] 喻元秀, 刘丛强, 汪福顺, 等. 洪家渡水库溶解二氧化碳分压的时空分布特征及其扩散通量 [J]. 生态学杂志, 2008, **27**(7): 1193-1199.
- [10] Chen H, Wu Y Y, Yuan X Z, et al. Methane emissions from newly created marshes in the drawdown area of the Three Gorges Reservoir [J]. Journal of Geophysical Research, 2009, **114**: D18301.
- [11] 蒋涛, 郭劲松, 李哲, 等. 三峡水库不同运行状态下支流澎溪河水-气界面温室气体通量特征初探 [J]. 环境科学, 2012, **33**(5): 1463-1470.
- [12] 王亮, 肖尚斌, 刘德富, 等. 香溪河库湾夏季温室气体通量及影响因素分析 [J]. 环境科学, 2012, **33**(5): 1471-1475.
- [13] Wang W C, Yung Y L, Lacis A A, et al. Greenhouse effects due to man-made perturbations of trace gases [J]. Science, 2000, **194**(4266): 685-690.
- [14] Jain A K, Briegleb B P, Minschwaner K, et al. Radiative forcings and global warming potentials of 39 greenhouse gases [J]. Journal of Geophysical Research, 2000, **105** (D16): 20773-20790.
- [15] 唐涛, 黎道丰, 潘文斌, 等. 香溪河河流连续统特征研究 [J]. 应用生态学报, 2004, **15**(1): 141-144.
- [16] Lambert M, Fréchette J L. Analytical techniques for measuring fluxes of CO₂ and CH₄ from hydroelectric reservoirs and natural water bodies [A]. In: Therrien A J (Ed.). GHG emissions from boreal reservoirs and natural aquatic ecosystems, in greenhouse gas emissions-fluxes and processes [C]. Germany: Springer Berlin Heidelberg, 2005: 37-60.
- [17] 陈永根, 李香华, 胡志新, 等. 中国八大湖泊冬季水-气界面CO₂通量 [J]. 生态环境, 2006, **15**(4): 665-669.
- [18] 丁建平, 程静, 杨建明. 溶解性气体对开式循环凝汽器运行特性的影响 [J]. 热力透平, 2004, **33**(1): 41-45.
- [19] Singh S N, Kulshreshtha K, Agnihotri S. Seasonal dynamics of methane emission from wetlands [J]. Chemosphere-Global Change Science, 2000, **2**(1): 39-46.
- [20] Patra P K, Lal S, Venkataramani S, et al. Seasonal and spatial variability in N₂O distribution in the Arabian Sea [J]. Deep Sea Research Part I: Oceanographic Research Papers, 1999, **46**(3): 529-543.
- [21] Friedl G, Wüest A. Disrupting biogeochemical cycles-consequences of damming [J]. Aquatic Sciences, 2002, **64**(1): 55-65.
- [22] Tremblay A, Varfalvy L, Roehm C, et al. Greenhouse gas emissions-fluxes and processes. Hydroelectric Reservoirs and Natural Environments [M]. New York: Springer, 2005.
- [23] 赵小杰, 赵同谦, 郑华, 等. 水库温室气体排放及其影响因素 [J]. 环境科学, 2008, **29**(8): 2377-2384.
- [24] Krumbein W E. Photolithotropic and chemotrophic activity of bacteria and algae as related to beachrock formation and degradation (Gulf of Aqaba, Sinai) [J]. Geomicrobiology Journal, 1979, **1**(2): 139-203.
- [25] 陈素玲. 河口沉积物-水界面氧化亚氮通量的研究 [D]. 青岛: 中国海洋大学, 2006.
- [26] Paasche E. On the relationship between primary production and standing stock of phytoplankton [J]. ICES Journal of Marine Science, 1960, **26**(1): 33-48.
- [27] 王东启, 陈振楼, 王军, 等. 夏季长江河口潮间带反硝化作用和N₂O的排放与吸收 [J]. 地球化学, 2006, **35**(3): 271-279.
- [28] Tremblay A, Schetagne R. The relationship between water quality and Greenhouse Gas emissions in reservoirs [J]. International Journal on Hydropower & Dams, 2006, **13**(1): 103-107.
- [29] Huttunen J T, Väistönen T S, Hellsten S K, et al. Methane fluxes at the sediment-water interface in some boreal lakes and reservoirs [J]. Boreal Environment Research, 2006, **11**(20): 27-34.
- [30] Luiz P R, Marco A D S, Bohdan M, et al. Biogenic gas production from major Amazon reservoirs, Brazil [J]. Hydrological Processes, 2003, **17**(7): 1443-1450.
- [31] Dunnivant F M, Elzerman A W. Aqueous solubility and Henry's law constant data for PCB congeners for evaluation of quantitative structure-property relationships (QSPRs) [J]. Chemosphere, 1988, **17**(3): 525-541.

CONTENTS

Water-soluble Inorganic Salts in Ambient Aerosol Particles in Tangshan	MIAO Hong-yan, WEN Tian-xue, WANG Li, et al. (1225)
Characterization of Water-soluble ions in PM _{2.5} at Dinghu Mount	ZHAO Ya-nan, WANG Yue-si, WEN Tian-xue, et al. (1232)
Characteristics of Mass Size Distributions of Water-Soluble Inorganic Ions During Summer and Winter Haze Days of Beijing	HUANG Yi-min, LIU Zi-rui, CHEN Hong, et al. (1236)
Characterising Seasonal Variation and Spatial Distribution of PM _{2.5} Species in Shenzhen	YUN Hui, HE Ling-yan, HUANG Xiao-feng, et al. (1245)
Characteristics of PAHs in the Atmosphere in Winter and Summer in the Urban and Suburban of Fuzhou	YI Zhi-gang, HUANG Xing-ran, BI Jun-qian, et al. (1252)
Seasonal Variation and Spatial Distribution of Typical Organochlorine Pesticides in the Atmosphere of Hexi Corridor and Lanzhou, Northwest China	DING Zhong-yuan, MAO Xiao-xuan, MA Zi-long, et al. (1258)
Simulation of Air Pollution Characteristics and Estimates of Environmental Capacity in Zibo City	XUE Wen-bo, WANG Jin-nan, YANG Jin-tian, et al. (1264)
Diurnal Changes in Greenhouse Gases at Water-Air Interface of Xiangxi River in Autumn and Their Influencing Factors	HUANG Wen-min, ZHU Kong-xian, ZHAO Wei, et al. (1270)
Influence of Human Activities on Groundwater Environment Based on Coefficient Variation Method	ZHAO Wei, LIN Jian, WANG Shu-fang, et al. (1277)
Nitrogen Non-Point Source Pollution Identification Based on ArcSWAT in Changle River	DENG Ou-ping, SUN Si-yang, LÜ Jun (1284)
Study on the Content and Carbon Isotopic Composition of Water Dissolved Inorganic Carbon from Rivers Around Xi'an City	GUO Wei, LI Xiang-zhong, LIU Wei-guo (1291)
First Flush Effects of Storm Events of Baoxiang River in Lake Dianchi Watershed	GUO Huai-cheng, XIANG Nan, ZHOU Feng, et al. (1298)
Estimation of Releasing Fluxes of Sediment Phosphorous in the Three Gorges Reservoir During Late Autumn and Early Winter	NIU Feng-xia, XIAO Shang-bin, WANG Yu-chun, et al. (1308)
Distributions and Pollution Status of Heavy Metals in the Suspended Particles of the Estuaries and Coastal Area of Eastern Hainan	XIN Cheng-lin, REN Jing-ling, ZHANG Gui-ling, et al. (1315)
Environmental Characteristics of Heavy Metals in Surface Sediments from the Huanghe Estuary	WU Bin, SONG Jin-ming, LI Xue-gang (1324)
Distribution and Potential Ecological Risk Assessment of Heavy Metals in Sediments of Zhalong Wetland	YE Hua-xiang, ZANG Shu-ying, ZHANG Li-juan, et al. (1333)
Ecological Risk Evaluation of Heavy Metals of the Typical Dredged Mud in Shanghai	TANG Qing-li, CHENG Jin-ping, GAO Hao-min, et al. (1340)
Pollution Characteristics of Heavy Metals in Sludge from Wastewater Treatment Plants and Sludge Disposal in Chinese Coastal Areas	ZHANG Can, CHEN Hong, YU Yi-xuan, et al. (1345)
Comparison of the Estrogenic Activity of Organic Compounds in Source Water and Finished Water from the Yangtze River and Taihu Lake in Certain Areas of Jiangsu Province	JIN Tao, LÜ Xue-min, ZENG Yi-fan, et al. (1351)
Occurrence and Fate of Phthalates in Wastewater Treatment Plants in Beijing, China	ZHOU Yi-qi, LIU Yun-xia (1357)
Research on Sludge Toxicity Caused by DMF Biodegradation and Toxicity Spatial Distribution in Sludge Flocs	HU Yuan-yuan, YANG Na, DING Yi, et al. (1363)
Study on the Ecological Risk of Wild Veined Rapa Whelk (<i>Rapana venosa</i>) Exposed to Organotin Compounds in Bohai Bay, China	AN Li-hui, ZHANG Yan-qiang, SONG Shuang-shuang, et al. (1369)
Bioaccumulation of Mercury in <i>Crassostrea</i> sp. Exposed to Waste Seawater Discharged from a Coal-fired Power Plant Equipped with a Seawater Flue-gas Desulfurization System	LIU Xi-yao, YUAN Dong-xing, CHEN Yao-jin (1374)
Effects of Imidazolium Chloride Ionic Liquids on the Acute Toxicity and Weight of Earthworm	HUANG Ruo-nan, FAN Jun-jie, TU Hong-zhi, et al. (1380)
Influencing Factors and Mechanism of Arsenic Removal During the Aluminum Coagulation Process	CHEN Gui-xia, HU Cheng-zhi, ZHU Ling-feng, et al. (1386)
Removal of DON in Micro-polluted Raw Water by Coagulation and Adsorption Using Activated Carbon	LIU Bing, YU Guo-zhong, GU Li, et al. (1392)
Mechanism of Catalytic Ozonation for the Degradation of Paracetamol by Activated Carbon	WANG Jia-yu, DAI Qi-zhou, YU Jie, et al. (1402)
Reductive Degradation of Chlorophenols in Aqueous Solution by Gamma Irradiation	PENG Yun-xia, HE Shi-jun, GONG Wen-qi, et al. (1411)
Effect of C/N Ratio on Nitrite Accumulation During Denitrification Process	YUAN Yi, HUANG Yong, DENG Hui-ping, et al. (1416)
Nitrous Oxide Emission During Denitrification for Activated Sludge Acclimated with Methanol as the Organic Carbon	ZHAI Xiao-feng, JIANG Cheng-ai, WU Guang-xue, et al. (1421)
Comparison and Optimization of Cellulose Carbon Source for Denitrification Filter	LI Bin, HAO Rui-xia (1428)
A Novel Municipal Wastewater Treating Process for Energy Production and Autotrophic Nitrogen Removal Based on ANAMMOX	LU Jian-cong, GAO Da-wen, SUN Xue-ying (1435)
Modeling and Dynamic Simulation of the Multimode Anaerobic/Anoxic/Aerobic Wastewater Treatment Process	ZHOU Zhen, WU Zhi-chao, WANG Zhi-wei, et al. (1442)
Comparing Microbial Community of High Ammonia Wastewater and Municipal Sewage in a Partial Nitrification System	ZHAO Zhi-rui, MA Bin, ZHANG Shu-jun, et al. (1448)
Analysis of the Fractal Structure of Activated Sludge Flocs	RUAN Xiao-dong, LIU Jun-xin (1457)
Rapid Cultivation of Aerobic Nitrifying Granular Sludge with Alternate Loading Method	SHEN Na, YANG Chang-zhu, PU Wen-hong, et al. (1464)
Acceleration of the Formation of Aerobic Granules in SBR by Inoculating Different Proportions and Different Diameters of Mature Aerobic Granules	XIONG Guang-cheng, PU Wen-hong, YANG Chang-zhu (1472)
Mechanisms of the Improvement in Dewaterability of Alkaline Fermented Sludge by Simultaneous Ammonium and Phosphate Recovery	ZHANG Chao, CHEN Yin-guang, GU Guo-wei (1479)
Use of Flow Cytometric Sorting to Assess the Diversity of Eukaryotic Picophytoplankton of Lakes	XIE Wei-wei, GONG Yi, WANG Zhi-wei, et al. (1485)
Allelopathy Effects of Ferulic Acid and Coumarin on <i>Microcystis aeruginosa</i>	GUO Ya-li, FU Hai-yan, HUANG Guo-he, et al. (1492)
Spatiotemporal Characteristics of Zooplankton Community Structure and Diversity in the Strong Temperature Increment Seawaters near Guohua Power Plant in Xiangshan Bay	ZHU Yi-feng, HUANG Jian-yi, LIN Xia, et al. (1498)
Screening of Epoxy-degrading Halophiles and Their Application in High-salt Wastewater Treatment	WANG Jin, XU Zhen, PENG Shu-chuan, et al. (1510)
Biodegradation of Decabromodiphenyl Ether by Intracellular Enzyme Obtained from <i>Pseudomonas aeruginosa</i>	SHI Guang-yu, YIN Hua, YE Jin-shao, et al. (1517)
Influence of Yeast Extract on the Fermentation of Glucose by the Demulsifying Strain <i>Alcaligenes</i> sp. S-XJ-1	HUANG Xiang-feng, WANG Kai, LI Ming-xia, et al. (1524)
Phylogenetic Analysis of Methanogenic Corn Stalk Degrading Microbial Communities	QIAO Jiang-tao, GUO Rong-bo, YUAN Xian-zheng, et al. (1531)
Inhibition of Methanogenium by Erythromycin and Its Domestation	LIU Zi-xu, SUN Li-ping, LI Yu-you, et al. (1540)
Sand Box Study on Fingerprint Front Morphology for NAPLs Infiltrated in Homogeneous Porous Media	YANG Bin, LI Hui-ying, WU Bin, et al. (1545)
Vertical Distribution and Possible Sources of Polycyclic Aromatic Hydrocarbon in Sewage Area Soil	YAO Lin-lin, ZHANG Cai-xiang, LI Jia-le, et al. (1553)
Characteristic and Evaluation of Soil Pollution by Heavy Metal in Different Functional Zones of Hohhot	GUO Wei, SUN Wen-hui, ZHAO Ren-xin, et al. (1561)
Distribution Characteristics of Rice Photosynthesized Carbon in Soil Aggregates of Different Size and Density	LI Miao-miao, NIE San-an, CHEN Xiao-juan, et al. (1568)
Profile of Soil Microbial Biomass Carbon in Different Types of Subtropical Paddy Soils	SHENG Hao, ZHOU Ping, YUAN Hong, et al. (1576)
Effect of Composting Organic Fertilizer Supplies on Hexachlorobenzene Dechlorination in Paddy Soils	LIU Cui-ying, JIANG Xin (1583)
Remediation of Cu-Pb-Contaminated Loess Soil by Leaching with Chelating Agent and Biosurfactant	LIU Xia, WANG Jian-tao, ZHANG Meng, et al. (1590)
Effects of Different Temperatures Biochar on Adsorption of Pb(II) on Variable Charge Soils	JIANG Tian-yu, JIANG Jun, XU Ren-kou, et al. (1598)
Preparation and Performance Investigation of <i>Trichoderma viride</i> -Modified Corn Stalk as Sorbent Materials for Oil Spills	LAN Zhou-lin, PENG Dan, GUO Chu-ling, et al. (1605)
Removal of PO ₄ ³⁻ from Solution, Wastewater and Seawater by Modification and Granulation Magnesium and Aluminium Layered Double Hydroxide	XING Kun, WANG Hai-zeng (1611)
Influence of Carboxylic Carbon Nanotube Supported Platinum Catalyst on Cathode Oxygen Reduction Performance of MFC	TU Li-xing, ZHU Neng-wu, WU Ping-xiao, et al. (1617)
Flue Gas Desulfurization by a Novel Biomass Activated Carbon	LIU Jie-ling, TANG Zheng-guang, CHEN Jie, et al. (1623)
Method for Grading Industrial Sectors in Energy Consumption and Its Application	MAO Jian-su, MA Lan (1628)
Dynamics and Environmental Load of Food Carbon Consumption During Urbanization: A Case Study of Xiamen City, China	YAN Zhen, CUI Sheng-hui, LI Gui-lin, et al. (1636)

《环境科学》第6届编辑委员会

主编：欧阳自远

副主编：赵景柱 郝吉明 田刚

编委：(按姓氏笔画排序)

万国江 王华聪 王凯军 王绪绪 田刚 田静 史培军
朱永官 刘志培 汤鸿霄 陈吉宁 孟伟 周宗灿 林金明
欧阳自远 赵景柱 姜林 郝郑平 郝吉明 聂永丰 黄霞
黄耀 鲍强 潘纲 潘涛 魏复盛

环 环 科 学

(HUANJING KEXUE)

(月刊 1976年8月创刊)

2013年4月15日 34卷 第4期

ENVIRONMENTAL SCIENCE

(Monthly Started in 1976)

Vol. 34 No. 4 Apr. 15, 2013

主	管	中国科学院	Superintended	by Chinese Academy of Sciences
主	办	中国科学院生态环境研究中心	Sponsored	by Research Center for Eco-Environmental Sciences, Chinese Academy of Sciences
协	办	(以参加先后为序)	Co-Sponsored	by Beijing Municipal Research Institute of Environmental Protection
		北京市环境保护科学研究院		School of Environment, Tsinghua University
		清华大学环境学院		
主	编	欧阳自远	Editor-in -Chief	OUYANG Zi-yuan
编	辑	《环境科学》编辑委员会	Edited	by The Editorial Board of Environmental Science (HUANJING KEXUE)
		北京市2871信箱(海淀区双清路18号,邮政编码:100085)		P. O. Box 2871, Beijing 100085, China
		电话:010-62941102,010-62849343		Tel:010-62941102,010-62849343; Fax:010-62849343
		传真:010-62849343		E-mail:hjkx@rcees.ac.cn
		E-mail:hjkx@rcees.ac.cn		http://www.hjkx.ac.cn
		http://www.hjkx.ac.cn		
出	版	科 学 出 版 社	Published	by Science Press
		北京东黄城根北街16号		16 Donghuangchenggen North Street,
		邮政编码:100717		Beijing 100717, China
印	刷	北京北林印刷厂	Printed	by Beijing Bei Lin Printing House
装	订		Distributed	by Science Press
发	行	科 学 出 版 社		Tel:010-64017032
		电话:010-64017032		E-mail:journal@mail.sciencep.com
		E-mail:journal@mail.sciencep.com		
订	购	处	Domestic	All Local Post Offices in China
国	外	总发行	Foreign	China International Book Trading Corporation (Guoji Shudian), P. O. Box 399, Beijing 100044, China
		(北京399信箱)		

中国标准刊号: ISSN 0250-3301
CN 11-1895/X

国内邮发代号: 2-821

国内定价: 90.00 元

国外发行代号: M 205

国内外公开发行